

射影表現と固有状態熱化仮説

福島 理
理化学研究所 iTHEMS

Sep. 11, 2024

熱場の量子論とその応用,
基礎物理学研究所, 京都

Based on

[O.F., Ryusuke Hamazaki, Phys. Rev. Lett. 131 (2023), arXiv:2305.04984]
[O.F., PTEP 2024, no.4, 043B03 (2024), arXiv:2310.11425]

- 熱化(熱平衡への遷移):

非典型的な状態から

典型的な状態への遷移

$$\langle \psi | \mathcal{O} | \psi \rangle \neq \text{tr}(\mathcal{O} \rho_{\text{thermal}}) \quad \langle \psi | \mathcal{O} | \psi \rangle = \text{tr}(\mathcal{O} \rho_{\text{thermal}})$$

→ (量子/古典)多体系の普遍的な性質

以下の非自明な点:

- どのような系のどのような初期状態が平衡状態へと緩和するか,
- 熱化するとして、どのような統計アンサンブルが実現されるか.

熱化の過程は一般にこれらの詳細のデータに非常に依存する。

このトークでのmotivation

場の量子論(QFT)の非自明な熱化過程

- 高次対称性が熱化にどのような影響を与えるか?
実時間発展への帰結
- 非局所保存量(*)がある時、どのような観測量が非自明な熱平衡状態を区別するか?
局所保存量がある時、非自明な熱平衡アンサンブルが実現することが知られている。

Introduction

3/20

孤立量子系における熱化:

散逸のない量子系はユニタリ時間発展をする.

⇒ 非熱的な状態は時間発展しても非熱的なまま?
?

- 一つの理解の仕方: 演算子の期待値のレベルで考える

$$\lim_{t \rightarrow \infty} \overline{\langle \psi(t) | \mathcal{O} | \psi(t) \rangle} = \text{tr}(\mathcal{O} \rho_{\text{thermal}})$$

時間平均 熱平衡における統計平均

十分条件:

(強い) 固有状態熱化仮説 (ETH)

[Deutsch, Phys. Rev. A 43(1991); Srednicki, Phys. Rev. E 50(1994)...]

← 全てのエネルギー固有状態は熱的である

Introduction

4/20

Our work

[O.F., Ryusuke Hamazaki, Phys. Rev. Lett. 131 (2023), arXiv:2305.04984]

- $(d + 1)$ 次元的なQFTが p 次対称性を持ち、いくつかの仮定(*)を満たす時、以下を示した：
 $(d-p)$ -次元的な観測量がETHを破る。
→ 系が必ずしも、標準的なカノニカルアンサンブルに緩和するとは限らない。

(p -次対称性を考慮した一般化Gibbsアンサンブル)

[O.F., PTEP 2024, no.4, 043B03 (2024), arXiv:2310.11425]

- 仮定(*)に対する再考察：
特に、 $\mathbb{Z}_n \times \mathbb{Z}_m$ 対称性が射影表現で実現されている時、 \mathbb{Z}_n or \mathbb{Z}_m のどちらかのみ破る摂動を加えると(*)が満たされる。
→ 系のスペクトラムの中間(高く励起した状態)の直接的な情報を必要としない

Contents

5/20

- **Introduction (4)**
- **Eigenstate thermalization hypothesis (2)**
- **Higher-form symmetry (2)**
- **ETH breaking by higher-form symmetry (3)**
- **Projective phase and ETH-breaking (4)**
- **Numerical analysis for lattice systems(3)**
- **Summary and outlook (1)**

Eigenstate thermalization hypothesis

6/20

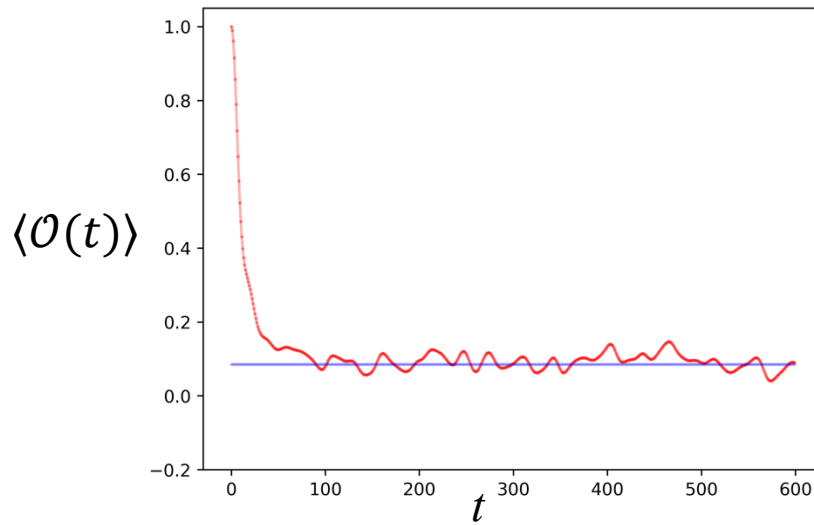
一般に以下は系の詳細や初期状態に依存する:

- ①全ての初期状態はある定常状態に緩和するか?

$$\delta\mathcal{O}^2 := \overline{\langle \mathcal{O} \rangle^2} - (\overline{\langle \mathcal{O} \rangle})^2 \rightarrow 0 \text{ as } t \rightarrow \infty$$

- ②緩和するとして、その長時間平均は熱的アンサンブルで記述されるか?

$$\overline{\langle \mathcal{O} \rangle} \simeq \langle \mathcal{O} \rangle_{\text{eq}}$$



① \Leftarrow 非対角的 ETH

② \Leftarrow 対角的 ETH

* 以下このトークでは、対角的ETHを単にETHと呼ぶ。

一旦ETHを仮定すると、初期条件に依存せずに熱化が起こる

Eigenstate thermalization hypothesis

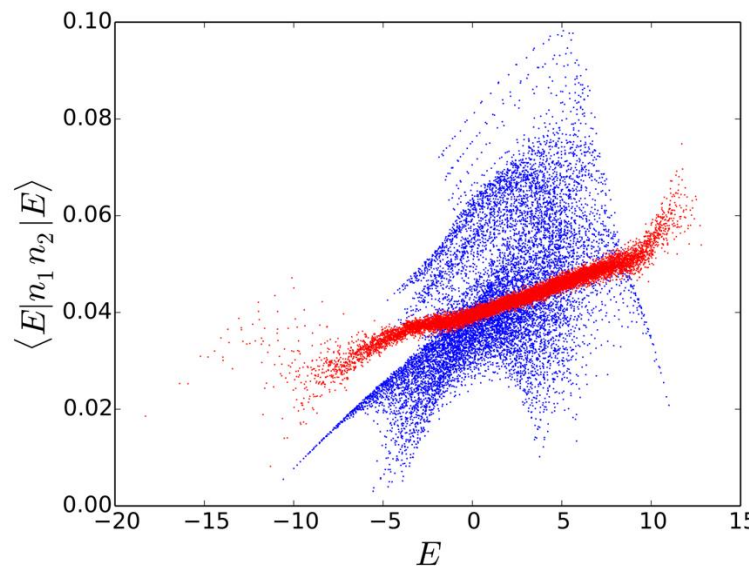
7/20

Let $|\psi(0)\rangle = \sum_{\alpha} c_{\alpha} |E_{\alpha}\rangle$ ($H|E_{\alpha}\rangle = E_{\alpha}|E_{\alpha}\rangle$: energy eigenstates),
(簡単のため、ハミルトニアンの縮退は無いと仮定する。)

$$\overline{\langle \mathcal{O} \rangle} = \sum_{\alpha} |c_{\alpha}|^2 \langle E_{\alpha} | \mathcal{O} | E_{\alpha} \rangle$$

(Diagonal) ETH

$$\langle E_{\alpha} | \mathcal{O} | E_{\alpha} \rangle(E) \simeq \text{tr}(\mathcal{O} \rho_{\text{micro canonical}}(E))$$



e.g.) Hard core boson:

blue: integrable \rightarrow ETH X

red: non-integrable \rightarrow ETH ✓

[Deutsch, 1805.01616]

Higher-form symmetry

8/20

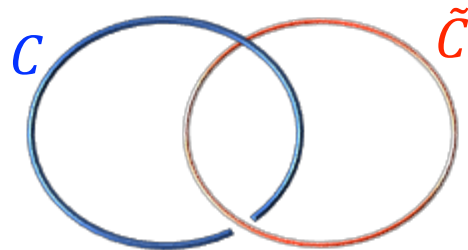
トポロジカル演算子

- p -次対称性はcodimension- $(p + 1)$ の対称性演算子で特徴づけられる

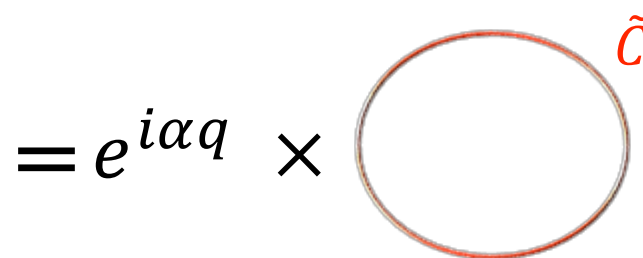
$(d + 1)$ 次元のQFTでは、

$$\langle \underline{U_\alpha(C)} W(\tilde{C}) \dots \rangle = e^{i\alpha q} \underline{W(\tilde{C}) \dots}$$

対称性演算子:
 $(d - p)$ -dimensional



Charged operator:
 p -dimensional



相関関数は C の連続変形の下で不変。

- 高次対称性は G group structure を持つ。(G : abelian group)

$$U_\alpha(C) U_\beta(C) = U_{\alpha+\beta}(C)$$

Higher-form symmetry

9/20

Hilbert空間への作用

- 演算子 $U_\alpha(C)$ や $W(\tilde{C})$ ヒルベルト空間への作用を考える。

(space-like symmetry [Goranta-Lam-Seiberg-Shao, 2201.10589]):

$$\text{time } \uparrow \begin{array}{c} W \\ \hline \end{array} \quad U_\alpha \quad = e^{iq\alpha} \quad \begin{array}{c} W \\ \hline \end{array}$$

$$\rightarrow U_\alpha^\dagger(C_x) W(C_y) U_\alpha(C_x) = e^{iq\alpha} W(C_y) \quad C_x, C_y \subset \mathcal{M}: \text{space manifold}$$

$$\text{Topological nature of } U_\alpha \quad \Rightarrow \quad [H, U_\alpha] = 0$$

ETH breaking by higher-form symmetry

10/20

Setup

時空多様体 $\mathcal{M} \times \mathbb{R}$ 上で定義された $(d + 1)$ -次元 QFT を考える。

ハミルトニアン H は非縮退。

系が p -次対称性 with the symmetry operator $U_\alpha(C)$ を持つ。

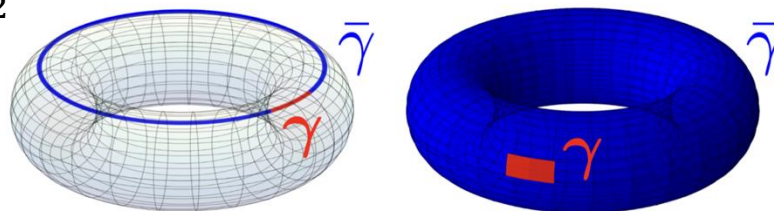
Main claim

適切な仮定(*)を満たされていれば、

演算子 $U_\alpha(\gamma)$ か $U_\alpha(\bar{\gamma})$ (あるいは両方) が ETH を破る。

$\gamma, \bar{\gamma}: (d - p)\text{-d manifold with boundary, s.t. } \gamma \cup \bar{\gamma} = \tilde{C} \subset \mathcal{M}$

e.g.) $\mathcal{M} = T^2$



$p = 1$

$p = 0$

演算子 $U(\gamma)/U(\bar{\gamma})$ は必ずしも通常のカノニカルアンサンブルに緩和しない。

ETH breaking by higher-form symmetry

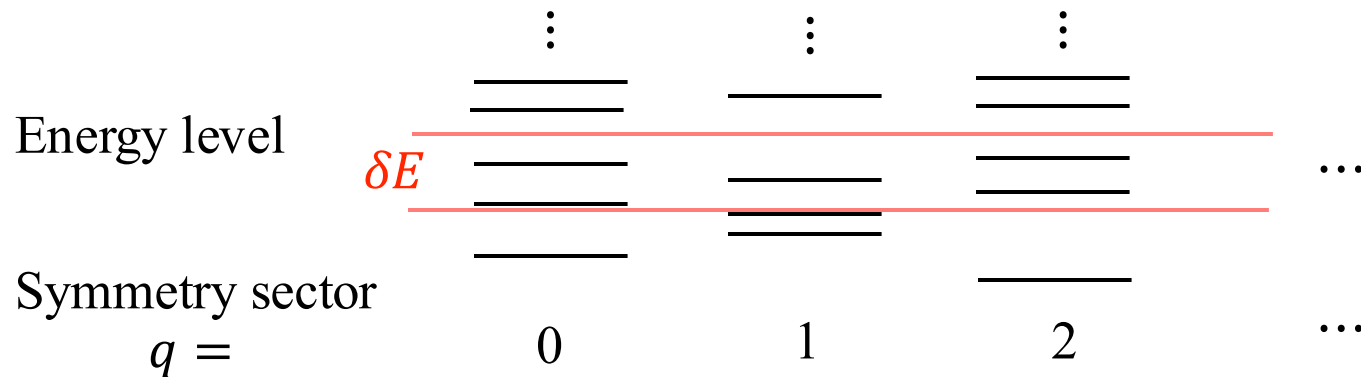
11/20

Main claim

適切な仮定(*)を満たされていれば、演算子 $U_\alpha(\gamma)$ か $U_\alpha(\bar{\gamma})$ (あるいは両方)がETHを破る。 $(\gamma \cup \bar{\gamma} = \tilde{C} \subset \mathcal{M})$

Assumptions:

- i) 演算子 $U_\alpha(\tilde{C})$ が分解できる: $U_\alpha(\tilde{C}) = U_\alpha(\gamma)U_\alpha(\bar{\gamma})$.
- ii) エネルギー固有状態 $|E_n\rangle, |E_m\rangle$, with $E_n, E_m \in [E, E + \delta E]$,
s.t. $\langle E_n | U_\alpha(\tilde{C}) | E_n \rangle \neq \langle E_m | U_\alpha(\tilde{C}) | E_m \rangle$ が存在する。
- iii) マイクロカノニカルアンサンブルでの期待値 $\langle U_\alpha(\tilde{C}) \rangle_{\text{mc}}^{\delta E} \neq 0$.

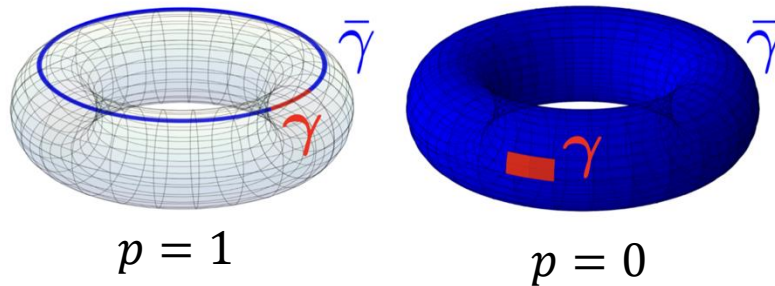


ETH breaking by higher-form symmetry

12/20

Comments

- この結果は $p \geq 1$ の時、特に非自明である。なぜならETHの破れは“bath”的小ささゆえでないから。



- 一般化:
 $A(g)U_\alpha(\gamma)$ か $A(g)^\dagger U_\alpha(\bar{\gamma})$ がETHを破る。
 $A(g)$: operator defined on a region $g (\subset \mathcal{M})$ with $g \cap \bar{\gamma} = \emptyset$
→ ある固定した γ に対して、多くのETHを破る演算子が存在する。

Projective phase and ETH-breaking

13/20

射影表現

Let G be an Abelian group

$$U_{g_1} U_{g_2} = e^{i \phi(g_1, g_2)} U_{g_1 g_2}, \quad g_1, g_2 \in G,$$
$$U_{g_1} U_{g_2} = e^{i \phi(g_1, g_2) - i \phi(g_2, g_1)} U_{g_2} U_{g_1}$$

U_g は対称性演算子であるため、エネルギー固有状態 $|E\rangle$ は U_g との同時固有状態に取れる：

$$H|E\rangle = E|E\rangle, \quad U_g|E\rangle = e^{i\alpha_g}|E\rangle$$

- 系が射影表現を持つ時、エネルギー固有状態は縮退する：

$$\langle E | U_{g_2} | E \rangle = \langle E | U_{g_1}^\dagger U_{g_2} U_{g_1} | E \rangle = e^{-(i\phi(g_1, g_2) - i\phi(g_2, g_1))} \langle E | U_{g_2} | E \rangle$$

$$e^{i \phi(g_1, g_2) - i \phi(g_2, g_1)} \neq 1 \Rightarrow \langle E | U_{g_2} | E \rangle = 0$$

→ $|E\rangle$ と $U_{g_2}|E\rangle$ が直交

Projective phase and ETH-breaking

14/20

射影表現による縮退と対称性セクターの混合

$$U_{g_1}(U_{g_2}|E\rangle) = e^{i\phi(g_1, g_2) - i\phi(g_2, g_1)} e^{i\alpha} (U_{g_2}|E\rangle)$$

$e^{i\phi(g_1, g_2) - i\phi(g_2, g_1)} \neq 1$ の時、 $|E\rangle$ と $U_{g_2}|E\rangle$ は異なる対称性セクターに属する。 $(\Leftrightarrow$ 異なるチャージを持つ。)

荷電物体の行列要素

W_q を荷電物体とする:

$$U_{g_1}^\dagger W_q U_{g_1} = e^{iq_{g_1}} W_q$$

$$\exists g_1 \in G \quad e^{iq_{g_1}} \neq 1 \quad \Rightarrow \quad \langle E, \alpha | W_q | E, \alpha \rangle = 0$$

$$\forall g_1 \in G \quad e^{iq_{g_1}} = 1 \quad \Rightarrow \quad \langle E, \alpha | W_q | E, \beta \rangle = 0 \quad (\alpha \neq \beta)$$

$$H|E, \alpha\rangle = E|E, \alpha\rangle, \quad H|E, \beta\rangle = E|E, \beta\rangle,$$

$$U_{g_1}|E, \alpha\rangle = e^{i\alpha}|E, \alpha\rangle, \quad U_{g_1}|E, \beta\rangle = e^{i\beta}|E, \beta\rangle,$$

Projective phase and ETH-breaking

15/20

Recall

Assumptions:

- i) 演算子 $U_\alpha(\tilde{C})$ が分解できる: $U_\alpha(\tilde{C}) = U_\alpha(\gamma)U_\alpha(\bar{\gamma})$.
- ii) エネルギー固有状態 $|E_n\rangle, |E_m\rangle$, with $E_n, E_m \in [E, E + \delta E]$,
s.t. $\langle E_n | U_\alpha(\tilde{C}) | E_n \rangle \neq \langle E_m | U_\alpha(\tilde{C}) | E_m \rangle$ が存在する。
- iii) マイクロカノニカルアンサンブルでの期待値 $\langle U_\alpha(\tilde{C}) \rangle_{\text{mc}}^{\delta E} \neq 0$.

Idea

$\mathbb{Z}_N \times \mathbb{Z}_M$ 対称性の射影表現を考え、片方(\mathbb{Z}_M)を破る擾動を加える

i.e., $G_1 = \mathbb{Z}_N, G_2 = \mathbb{Z}_M$ として、 $U_{g_1}\tilde{U}_{g_2} = e^{i\phi(g_1, g_2)}\tilde{U}_{g_2}U_{g_1}$

$$U_{g_1}^\dagger W_q U_{g_1} = W_q, \quad \tilde{U}_{g_2}^\dagger W_q \tilde{U}_{g_2} = e^{iq_{g_2}}W_q, \quad g_1 \in G_1, g_2 \in G_2.$$

$$\tilde{H}(\lambda) := H + \lambda H_1, \quad H_1 := \sum_{j: \text{site}} \frac{W_q(j) + W_q(j)^\dagger}{2}$$

Projective phase and ETH-breaking

16/20

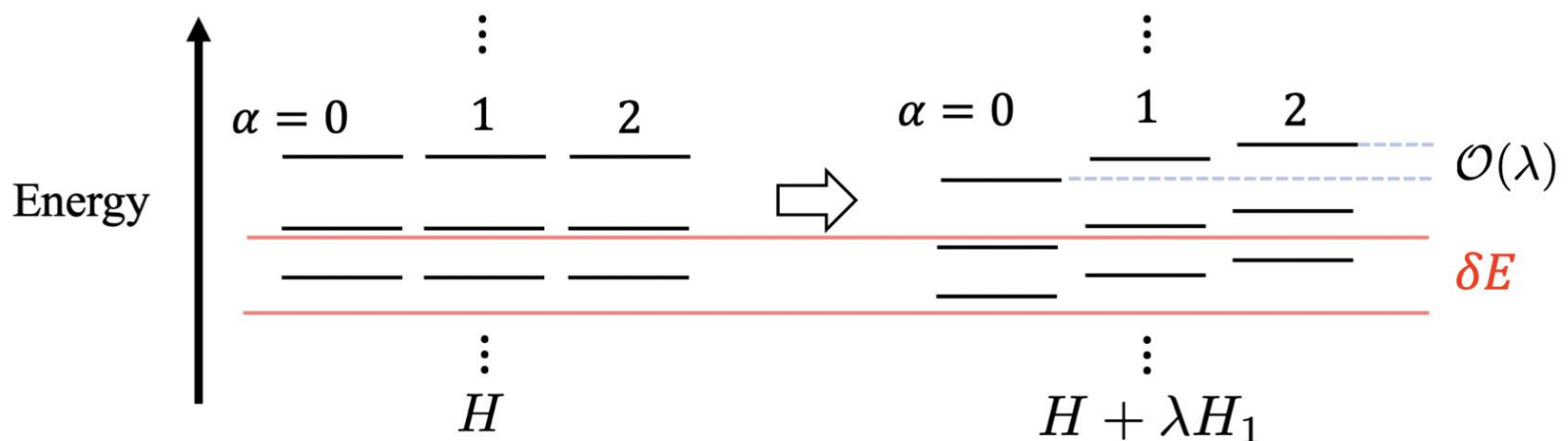
$\mathbb{Z}_N \times \mathbb{Z}_M$ 対称性の射影表現を考え、片方(\mathbb{Z}_M)を破る摂動を加える

$$\tilde{H}(\lambda) := H + \lambda H_1, \quad H_1 := \sum_{j: \text{ site}} \frac{W_q(j) + W_q(j)^\dagger}{2}$$

→ (縮退がある時の)Hellmann-Feynman theoremを用いる:

$$\frac{dE(\alpha; \lambda)}{d\lambda} = \langle E, \alpha; \lambda | H_1 | E, \alpha; \lambda \rangle = \sum_{j: \text{ site}} \text{Re} \langle E, \alpha; \lambda | W_q(j) | E, \alpha; \lambda \rangle$$

Note: energy spectrum のギャップ $\simeq O(e^{-\text{Volume}})$ のため、
通常の摂動論は使えない



Numerical analysis for lattice systems

17/20

e.g.1) (1+1)-dimensional $\mathbb{Z}_N \times \mathbb{Z}_N$ -symmetric spin chain

$$Z = \begin{pmatrix} 1 & 0 & 0 & \cdots & 0 \\ 0 & e^{2\pi i \frac{1}{N}} & 0 & \cdots & 0 \\ 0 & 0 & e^{2\pi i \frac{2}{N}} & \cdots & 0 \\ \vdots & \vdots & \vdots & \ddots & \vdots \\ 0 & 0 & 0 & \cdots & e^{2\pi i \frac{N-1}{N}} \end{pmatrix}, \quad X = \begin{pmatrix} 0 & 0 & \cdots & 0 & 1 \\ 1 & 0 & \cdots & 0 & 0 \\ 0 & 1 & \cdots & 0 & 0 \\ \vdots & \vdots & \ddots & \vdots & \vdots \\ 0 & 0 & \cdots & 1 & 0 \end{pmatrix}$$



$$ZX = e^{\frac{2\pi i}{N}} XZ.$$

対称性演算子

$$U_1 := \prod_{j=1}^L Z_j, \quad \tilde{U}_1 := \prod_{j=1}^L X_j.$$

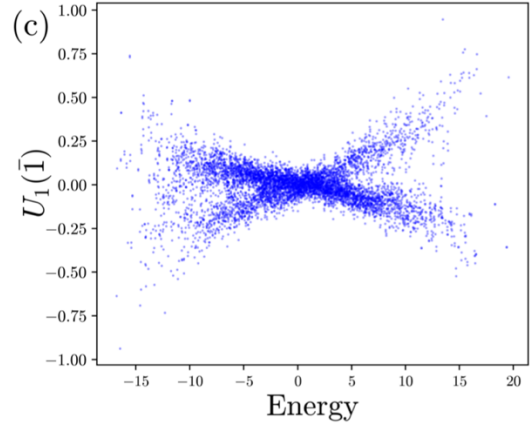
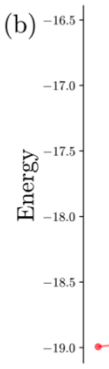
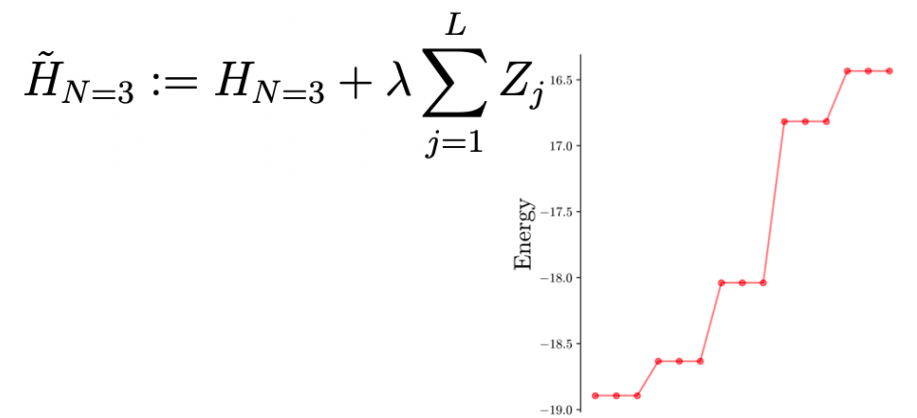
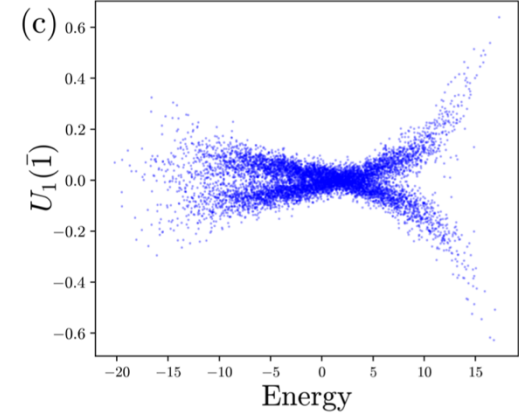
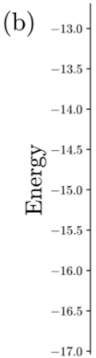
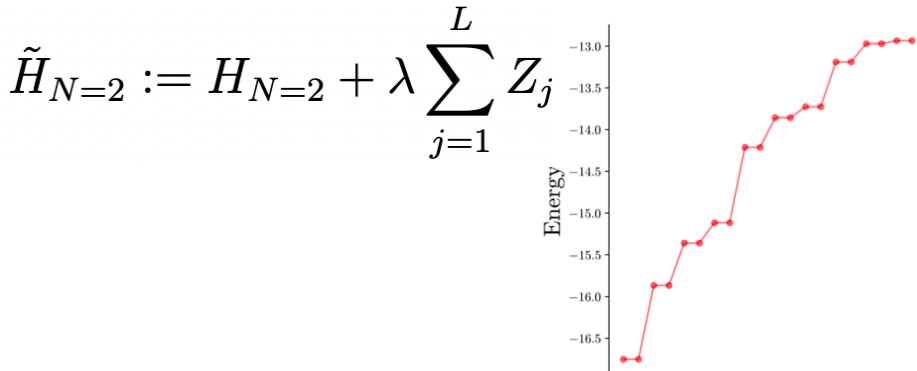
$\gcd(N, L) \neq N$ なら非自明な射影位相を持つ

Numerical analysis for lattice systems

18/20

e.g.1) (1+1)-dimensional $\mathbb{Z}_N \times \mathbb{Z}_N$ -symmetric spin chain

$$U_1^\dagger H_N U_1 = H_N, \quad \widetilde{U}_1^\dagger H_N \widetilde{U}_1 = H_N$$



Numerical analysis for lattice systems

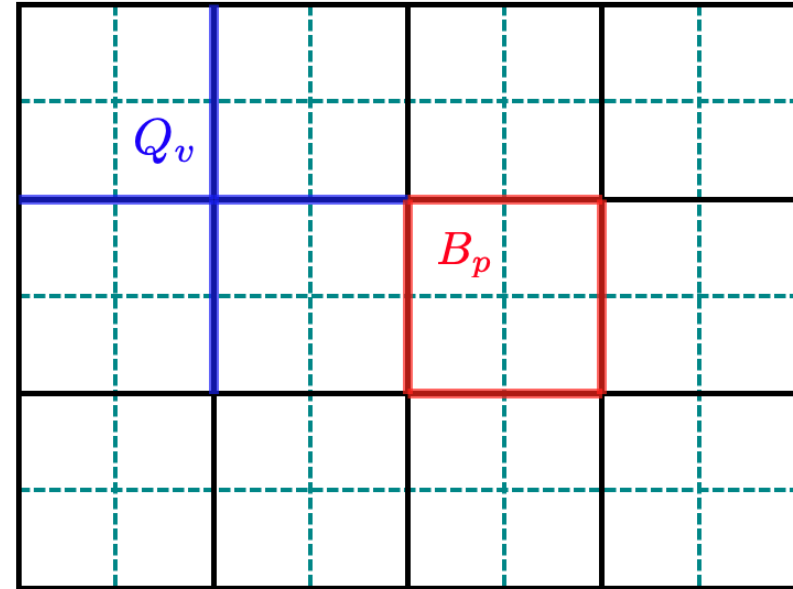
19/20

e.g.2) (2+1)-dimensional \mathbb{Z}_2 lattice gauge theory

$$H_{\mathbb{Z}_2} = - \sum_{p \in \text{plaquette}} \lambda_p B_p - \sum_{b \in \text{link}} \lambda_b \sigma_b^1$$

$$B_p := \prod_{b \in \text{plaquette } p} \sigma_b^3$$

$\sigma_b^{1,2,3}$: Pauli 行列 at b



対称性演算子

\mathbb{Z}_2 electric 1-form symmetry

$$U(C^*) = \prod_{b^* \in C^*} \sigma_{b^*}^1$$

\mathbb{Z}_2 “parity” symmetry

$$\tilde{U} := \prod_{r,j} \sigma_{r,j}^2$$

- 高次対称性は熱化に影響を与える。
- p -次対称性を持つ系が仮定(*)を満たす時、 $(d - p)$ -次元的なETHを破る演算子を具体的に構成できる。

仮定(*)の再考

- $\mathbb{Z}_N \times \mathbb{Z}_M$ 対称性の射影表現を考え、片方(\mathbb{Z}_M)を破る摂動を加えることで、仮定(*)を満たすことができる。
→ 系の中間スペクトラムの情報を必要としない

Outlook

- Relation to mixed state topological orders
- Effect on entanglement spectrum
- Demonstration for other QFTs
 - \mathbb{Z}_N gauge theory, U(1) gauge theory, SU(N) gauge theory...
 - superconductor, super fluid...

Etc...